

جغرافیا و توسعه شماره ۵۳ زمستان ۱۳۹۷

وصول مقاله: ۹۶/۰۹/۰۵

تأیید نهایی: ۹۶/۱۲/۰۱

صفحات: ۱۷۵ - ۱۹۴

شبیه‌سازی هیدروگراف سیلاب با مدل هیدرولوژیک HEC-HMS و پیش‌بینی دوره بازگشت در حوضه روانسر کرمانشاه

دکتر زهرا رحیم‌زاده^{۱*}، مینا حبیبی^۲

چکیده

از معتبرترین مدل‌های هیدرولوژیکی جهت برآورد بارش-رواناب حوضه‌های آبریز، مدل HEC-HMS است که برای برآورد حجم و دبی سیلاب‌ها کاربرد فراوانی دارد. در این پژوهش به کمک قابلیت‌های این مدل و با آمار و اطلاعات ایستگاه‌های هواشناسی و آب‌سنجی حوضه آبریز روانسر در دوره زمانی ۱۸ ساله از ۱۳۶۸ تا ۱۳۸۶ اقدام به برآورد و شبیه‌سازی فرآیند بارش-رواناب سیلاب‌های حوضه گردید. در ادامه به کمک نرم‌افزار Hyfa دوره بازگشت حداکثر دبی سیلاب لحظه‌ای محاسبه شد. برای مدل‌سازی پنج واقعه بارش-رواناب انتخاب شد. در فرآیند محاسبات مدل، جهت محاسبه تلفات رواناب حوضه، از روش شبکه‌ای SCS، جهت تبدیل فرآیند بارش مازاد به جریان سطحی، از روش هیدروگراف واحد SCS و از مدل ثابت ماهانه برای محاسبه جریان پایه و برای روندیابی سیلاب در مقاطع مختلف رودخانه از روش روندیابی هیدرولوژیکی ماسکینگام استفاده شد. در بخش مدل هواشناسی برای تحلیل داده‌های بارندگی از روش هیتوگراف سفارشی و برای داده‌های تبخیر و تعرق از میانگین ماهانه آن بهره گرفته شد. نتایج نشان داد که داده‌های محاسباتی اختلاف فاحشی با داده‌های مشاهداتی دارند. به همین دلیل با استفاده از تابع هدف درصد خطای دبی اوج پارامترهای متغیر مدل مورد واسنجی قرار گرفت. پس از واسنجی، نتایج هیدروگراف‌های محاسباتی انطباق حداکثری با هیدروگراف‌های مشاهداتی نشان دادند. برای بررسی صحت این نتایج، مدل به کمک سه واقعه بارش جدید، اعتباریابی شد.

نتایج حاصله از اعتباریابی، صحت پارامترهای واسنجی شده را تایید کرد. این مدل با میانگین خطای ۰/۷ درصد در برآورد دبی اوج و با میانگین خطای ۳۳/۳- در محاسبه حجم سیلاب در حوضه قابلیت اجرایی را دارد. نتایج در قسمت نرم‌افزار hyfa نیز نشان داد توزیع گامای ۲ پارامتری با حداقل خطا محاسباتی، مناسب‌ترین توزیع آماری است که داده‌ها با آن برازش شدند و همچنین کمترین خطای پیش‌بینی دوره بازگشت حداکثر دبی سیلاب لحظه‌ای مربوط به دوره بازگشت ۲ سال است. با طولانی‌تر شدن زمان دوره‌های بازگشت، درصد خطاها نیز افزایش می‌یابد. در مجموع این مدل پس از کالیبراسیون متغیرها، قابلیت زیادی در شبیه‌سازی رفتارهای هیدرولوژیکی حوضه آبریز روانسر را دارد.

واژه‌های کلیدی: سیلاب، بارش-رواناب، پیش‌بینی، HEC-HMS، Hyfa.

مقدمه

سیل رویدادی طبیعی است که جوامع بشری آن را به عنوان بخشی از وقایع اجتناب‌ناپذیر زمین پذیرفته‌اند و بدون تردید فاجعه بارترین حادثه طبیعی است. شاید در نگاه نخست، ابعاد حوادثی از قبیل زلزله و یا آتشفشان، وسیع‌تر از حوادث دیگر طبیعی به نظر آید، ولی آمارها حاکی از آن است که سیلاب چه از نظر تلفات جانی و چه از نظر تلفات مالی مقام اول را در میان حوادث طبیعی دارد (آدزی و همکاران، ۱۳۸۸: ۴۰). گزارش دفتر سازمان ملل متحد در ۲۳ نوامبر ۲۰۱۵ که برای کاهش خطر بروز حوادث (UNISDR) منتشر کرده است، نشان می‌دهد که در طول ۲۰ سال گذشته ۹۰ درصد از بلایای طبیعی مربوط به آب و هوا است و سیل ۴۷ درصد از این بلایای طبیعی آب و هوایی را از سال ۱۹۹۵ تا ۲۰۱۵ به خود اختصاص داده و توانسته بر زندگی جمعیت ۲/۳ میلیارد جهان تأثیر و باعث مرگ ۱۵۷ هزار نفر شود (UNNews Center, 2015: 1). تبعات سیل در عمل محدود به خسارات اولیه آن نبوده و عواقب بعدی آن، گاهاً بسیار جدی‌تر است. از جمله شیوع انواع بیماری‌ها، بی‌خانمانی مردم، از دست دادن شغل و گسترش بیکاری و به تعویق افتادن پروژه‌های عمرانی. همین امر سبب توجه زیاد کارشناسان به مطالعات خاص در زمینه سیلاب‌ها، راه‌های کاهش خطرات و تلفات آن و پیش‌بینی احتمال وقوع دوباره آن شده است. هشدار و پیش‌بینی می‌تواند به عنوان یکی از مؤثرترین روش‌های غیر سازه‌ای مدیریت سیلاب در کاهش خطرات و خسارات ناشی از آن مطرح شود (آدزی و همکاران، ۱۳۸۸: ۳۹). به طوریکه سیستم‌های هشدار و پیش‌بینی سیل در کشور سیل خیز بنگلادش، سبب کاهش ۹۹ درصدی تلفات جانی بین سال‌های ۱۹۹۱ تا ۱۹۹۷ در این کشور شده است. لذا هشدار سیل برای مدیریت بحران

و کاهش خسارات جانی و مالی به عنوان یکی از مؤثرترین روش‌های غیر سازه‌ای مدیریت سیلاب مطرح می‌باشد (محمدی و همکاران، ۱۳۸۵: ۹۴). در طی چند دهه اخیر استفاده از مدل‌های شبیه ساز بارش- رواناب، برای پیش‌بینی سیل مورد توجه محققان حوزه حفاظت آب و خاک قرار گرفت و این امر سبب شد تا نرم‌افزارهای متفاوتی جهت شبیه‌سازی فرآیند بارش- رواناب ساخته شود. یکی از مدل‌های موفق در این زمینه، نرم‌افزار HEC-HMS است. این نرم‌افزار توسعه یافته مدل‌های قبلی است که توسط مرکز مهندسی هیدرولوژی ارتش آمریکا ارائه شده و بر پایه روابط هیدرولوژیکی تعریف شده از سوی سرویس حفاظت خاک آمریکا (SCS) قادر است فرایند بارش- رواناب را به خوبی تحلیل کند (مرادی‌نژاد و همکاران، ۱۳۹۴: ۶۲۶). این مدل به سبب پاسخگویی مناسب و قابلیت اصلاح پارامترهای آن، توسط محققین در حوضه‌های مختلف جهان اجرا شده و هم‌اکنون در مباحث هیدرولوژیکی استفاده فراوانی دارد. در طی دهه گذشته از بین مطالعات تلفیقی که در زمینه مدل‌های هیدرولوژیکی و سامانه اطلاعات جغرافیایی (GIS) در ایران و جهان انجام گرفته، می‌توان به مطالعه کافله^۱ و همکارانش در سال ۲۰۰۷ اشاره کرد که با بکارگیری نرم‌افزار HEC-HMS اثر بارش در تولید رواناب حوضه بگماتی را بررسی کردند. بعد از شبیه‌سازی و واسنجی مدل به این نتیجه رسیدند که پیک سیلاب شبیه‌سازی شده به مقدار مشاهداتی آن بسیار نزدیک است. گارسیا^۲ و همکارانش در سال ۲۰۰۸ به ارزیابی منابع آب سطحی در حوضه‌های با تعداد ایستگاه کم در شمال حوضه مورد مطالعه اسپانیا پرداختند. در واقع از مدل HEC-HMS برای تخمین مقدار آب قابل دسترس

هیدروگراف‌های شبیه‌سازی شده داشت و اختلاف زمانی در رسیدن به اوج نیز مساوی و یا کمتر از ۹۰ دقیقه برآورد شد. بهمنی و همکارانش در سال ۱۳۹۰ به کمک مدل‌های هیدرولوژیکی پیش‌بینی سیلاب حوضه زرد رود استان خوزستان را انجام دادند. نتایج بدست آمده از این تحقیق نشان داد که پیش‌بینی بدست آمده از این مدل برای دبی پیک حوضه از دقت بالایی برخوردار بوده و با دبی پیک مشاهده‌ای تطابق کامل دارد. در سال ۱۳۹۰ کریمی و همکارانش به مطالعه ارزیابی توانایی مدل هیدرولوژیکی HEC-HMS در شبیه‌سازی هیدروگراف سیل در حوضه آبخیز ليقوان پرداختند. نتایج مدل نشان از اختلاف کمتر از ۱۰ درصدی داده‌های پیش‌بینی زمان وقوع و اندازه حداکثر سیلاب مشاهداتی با نتایج محاسباتی بود، لذا می‌توان به نتایج به دست آمده اطمینان کامل کرد و از آنها برای پیش‌بینی سیلاب‌های احتمالی بهره جست. شگری کوچک و همکارانش در سال ۱۳۹۰ در مقاله‌ای با عنوان تخمین آنمود سیلاب حوضه آبخیز با استفاده از مدل HEC-HMS و سامانه اطلاعات جغرافیایی به پیش‌بینی سیلاب در حوضه آبریز ایدنک پرداختند. آنها دریافتند که استفاده از مدل بدون واسنجی غیرقابل اعتماد است و بایستی پارامتر CN کالیبره شود. هم‌چنین نتایج مدل واسنجی شده دلالت بر کارایی آن در برآورد رواناب و دبی اوج سیلاب دارد. در سال ۱۳۹۱ جهانبخش و همکارانش با استفاده از مدل HEC-HMS و سامانه اطلاعات جغرافیایی (GIS) به شبیه‌سازی سیلاب در حوضه تمر پرداختند. نتایج میزان هیدروگراف خروجی رویداد پس از مدل‌سازی با خطای کمتر ۱۵ درصد قابل قبول بود. در سال ۱۳۹۲ پورحسین قادری و همکار در حوضه آبریز رودخانه نازلو چای ارومیه با استفاده از نرم‌افزار (WMS7.1) و مدل هیدرولوژیکی (HEC-HMS) مدل‌سازی سیلاب را انجام دادند. نتایج

استفاده شد. نتایج حاصل از این تحقیق نشان داد که داده‌های حاصل از شبیه‌سازی توسط مدل و داده‌های ثبت شده تفاوتی چندانی با هم ندارند. رازی^۱ و همکارانش در سال ۲۰۱۰ در مطالعات برآورد سیل با استفاده از سیستم مدل HEC-HMS بر روی رودخانه جوهور مالزی بر اساس بررسی‌های ۱۰ ساله (۱۹۹۶-۲۰۰۶) سیلاب‌های ثبت شده به این نتیجه رسیدند که مقدار خطا در اندازه دبی اوج سیلاب شبیه‌سازی شده با روش SCS و مشاهده شده برابر با ۴ درصد می‌باشد و پیشنهاد نمودند که HEC-HMS می‌تواند به عنوان ابزاری برای برآورد دبی اوج استفاده شود. علی محمد^۲ و همکارانش در سال ۲۰۱۱ برای بررسی میزان تاثیر تغییر کاربری اراضی بر رواناب سطحی در حوضه لینوله در پاکستان از مدل بارش رواناب HEC-HMS استفاده کردند. بعد از واسنجی و اعتبارسنجی مدل برای ۲ واقعه بارندگی در محدوده مطالعه شده، مدل را برای سناریوهای مختلف استفاده از زمین در آینده واسنجی کردند. در نهایت نتایج نشان دهنده این امر بود که در آینده با تغییر کاربری اراضی، رواناب کل بین ۵۱/۶ تا ۱۰۰ افزایش می‌یابد. کبیر^۳ و همکارانش در سال ۲۰۰۷ اثرات تغییر اقلیم بر رواناب حوضه کلانچ را در غرب مالزی بررسی کردند و از مدل SDSM برای ریزمقیاس سازی و از مدل بارش-رواناب HEC-HMS برای شبیه‌سازی رواناب حوضه تا پایان قرن ۲۱ استفاده کردند.

در ایران نیز در طی دهه گذشته تحقیقاتی در مورد قابلیت‌های مدل HEC-HMS انجام گرفته است. در سال ۱۳۸۹ جهان‌دیده و همکارانش برای پیش‌بینی سیلاب حاصل از بارش حوضه آبریز قره‌سو از مدل WMS/HEC-HMS استفاده کردند. نتایج، نشان از برازش مناسب دبی اوج هیدروگراف‌های مشاهده‌ای و

1-Razi

2-Ali Mohammad

3-Kibber

بر اساس بررسی‌های آماری حدود ۷۰ درصد از خسارات بلایای طبیعی در ایران، ناشی از سیلاب‌ها است (مهدی‌نسب و همکاران، ۱۳۹۳: ۹۷). استان کرمانشاه به دلیل قرارگیری در جبهه غربی کوهستان زاگرس و دریافت میانگین ۴۵۰ میلیمتر بارش سالانه، شرایط مساعدی برای وقوع سیلاب‌های فصلی را داراست. در اثر آبگرفتگی مناطق مسکونی و تاسیسات و اراضی کشاورزی واقع در پایین دست حوضه‌ها، خسارات مالی و تلفات جانی استان را تهدید می‌کند. حوضه آبریز روانسر با مساحتی حدود ۱۱۰۳/۰۵ کیلومترمربع یکی از سرشاخه‌های مهم رودخانه قره‌سو است که در پایین دست آن به ویژه در دوره‌های بارندگی بهار، به علت حجم زیاد جریان و عدم گنجایش کافی بستر فعلی رودخانه، دچار سیلاب‌های متعددی می‌گردد. مؤید این امر آثار و خسارات سالیانه به جای مانده سیلاب‌ها در سطح حوضه می‌باشد. با توجه به این شواهد و پتانسیل بالای این حوضه در ایجاد سیلاب مناطق پایین دست، وضعیت سیل خیزی حوضه آبریز روانسر برای مطالعه انتخاب شده است. هدف از این تحقیق شبیه‌سازی مدل رواناب- بارش و پیش‌بینی دوره‌های بازگشت سیلاب‌های مخرب و شدید به کمک مدل هیدرولوژیکی HEC-HMS و نرم‌افزار Hyfa در حوضه مورد مطالعه است.

روش کار

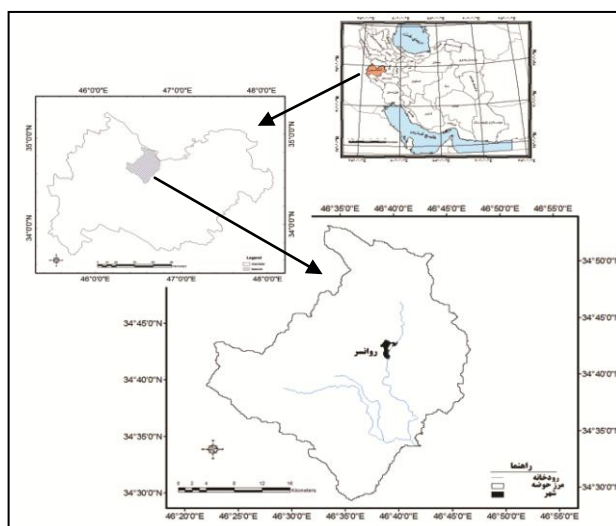
الف- معرفی حوضه مورد مطالعه

حوضه آبریز روانسر بین عرض‌های جغرافیایی ۲۹° تا ۳۴° و طول‌های جغرافیایی ۲۱° تا ۴۶° ۴۶° با مساحتی بالغ بر ۱۱۰۳/۰۵ کیلومترمربع (جدول ۱) در شمال استان کرمانشاه قرار گرفته است (شکل ۱). حوضه روانسر یکی از زیر حوضه‌های اصلی رودخانه قره‌سو است که در ادامه مسیر به رودخانه گاماسیاب و سپس به کرخه می‌ریزد. زهکش

نشان‌دهنده تطابق خوب و مناسب مدل بارش-رواناب با نتایج مشاهداتی و تحلیل‌های آماری ایستگاه‌های هیدرومتری بوده و از دقت قابل قبولی در تخمین هیدروگراف سیل دارد. حسینی و همکاران در سال ۱۳۹۴ پژوهشی با عنوان پیش‌بینی سیلاب‌های تاریخی رودخانه کشکان با استفاده از مدل هیدرولوژیکی HEC-HMS را انجام دادند. نتایج به دست آمده نشان داد که مدل HEC-HMS دارای کارایی بالایی در شبیه‌سازی رواناب روزانه طی دوره ترسالی و همچنین در حداکثر دبی لحظه‌ای سیلاب به ازای دوره بازگشت‌های کمتر از ۳۰۰ سال را دارد. لذا به خوبی می‌توان از این مدل هیدرولوژیکی در شبیه‌سازی رواناب روزانه و حداکثر دبی لحظه‌ای سیلاب به ازای دوره بازگشت‌های کوچک در حوضه مورد مطالعه استفاده نمود. مزیدی و همکار در سال ۱۳۹۴ در پژوهشی به شبیه‌سازی بارش-رواناب تخمین سیل در حوضه آبریز خرم آباد با مدل HEC-HMS پرداختند. آنها دریافتند که می‌توان به کمک این مدل، رواناب حوضه را با دقت بالا پیش‌بینی نمود. حسینی و همکاران در سال ۱۳۹۵ به بررسی سیلاب حوضه ناودار به وسیله مدل هیدرولوژیکی HEC-HMS در استان کرمانشاه پرداختند. نتایج حاصل از شبیه‌سازی چهار واقعه و مقایسه هیدروگراف‌های مشاهداتی و کالیبره شده نشان داد که مدل با همبستگی بیش از ۳۹ درصد در محاسبه حجم و بیش از ۳۱ درصد در محاسبه دبی، می‌تواند در شبیه‌سازی بارش رواناب حوضه با دقت بالایی عمل کند. حسین زاده و همکار در سال ۱۳۹۵ در پژوهشی با عنوان مدل‌سازی هیدرولوژیکی حوضه آبریز قوچک-رودک با استفاده از مدل به این نتیجه رسید که نتایج مدل حوضه مورد مطالعه از کارایی بالایی برخوردار نیست زیرا اختلاف بین دبی اوج مشاهداتی و محاسباتی بیش از ۲۰ درصد است.

و پست‌ترین نقاط ارتفاعی این حوضه به ترتیب ۲۷۷۵ و ۱۳۵۰ متر می‌باشد. متوسط شیب حوضه ۱۴/۴۷٪ درصد و طول اصلی‌ترین زهکش حوضه ۵۸/۴۰۷ کیلومتر است

اصلی حوضه روانسر رودخانه‌ای است با همین نام که از کوه‌های شاهو سرچشمه گرفته و پس از گذشتن از منطقه روانسر به رودخانه قره‌سو می‌ریزد. این حوضه جزئی از ناهمواری‌های زاگرس مرتفع است. بلندترین



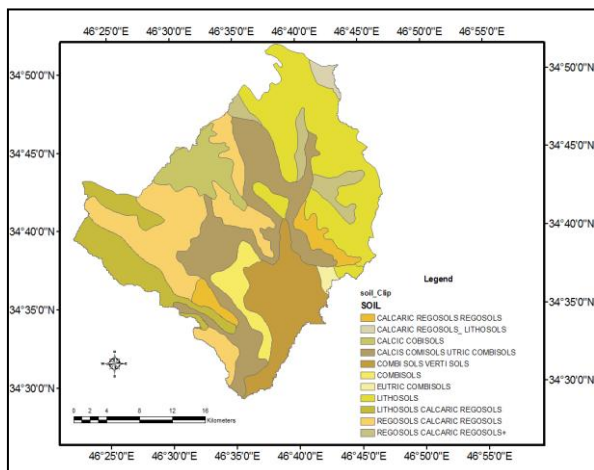
شکل ۱: موقعیت حوضه آبریز روانسر در کرمانشاه و ایران
تهیه و ترسیم: نگارندگان، ۱۳۹۱

و لیمستون به ترتیب در نواحی کوچکی از شمال غربی و شرق حوضه قرار دارند (شکل ۲). طبق استانداردهای خاک‌شناسی، حوضه آبریز روانسر شامل پنج تیپ اراضی است شامل: الف- تیپ اراضی کوهستان ب- تیپ اراضی تپه‌ها ج- تیپ اراضی دشت‌های دامنه‌ای د- تیپ اراضی دشت‌های آبرفتی رودخانه‌ای ه- تیپ اراضی واریزه‌ای بادبزی شکل سنگریزه‌دار (شکل ۳). بر اساس بافت خاک و نفوذ پذیری آن می‌توان خاک حوضه را به چهار گروه هیدرولوژیکی A، B، C و D تقسیم کرد (شکل ۴). بر این اساس بیشترین مساحت حوضه مربوط به خاک‌های گروه D است که شامل خاک‌های رسی- خاک‌های شور- سنگ- جاده آسفالتی و بتون بوده و قسمت‌های مرکزی حوضه را احاطه کرده است. بعد از آن بیشترین وسعت حوضه مربوط به گروه B متشکل از خاک‌های شنی- لومی و شنی- رسی است که در نواحی شمال غرب و غرب، شمال و قسمت‌هایی از

قرارگیری حوضه بر دامنه‌های غربی زاگرس سبب شده است تا قسمت اعظمی از بارش جبهه‌ها و جریانات باران زای غربی (دریای مدیترانه و دریای سیاه) را دریافت کند. میانگین بارندگی حوضه نیز با در نظر گرفتن دوره آماری ۱۰ ساله ۱۳۸۵ تا ۱۳۷۵ و با استفاده از آمار ایستگاه‌های بارانسنجی سازمان هواشناسی واقع در حوضه، حدود ۴۵۰ میلی‌متر است (چامه، ۱۳۸۸: ۲۴). از نظر زمین‌شناسی و لیتولوژی بخش عمده‌ای از حوضه آبریز روانسر به آبرفت (Qt2) اختصاص دارد که منطقه وسیعی از مرکز و جنوب حوضه را به خود اختصاص داده است. رادیولاریت‌ها نواحی غرب حوضه را شامل می‌شوند که زبانه‌هایی از آن به سمت مرکز و جنوب حوضه کشیده شده است. آهک بیستون تقریباً قسمت‌های شمال، شمال شرق و شرق حوضه را به خود اختصاص داده است که مربوط به کارست رسیده با درز و شکاف فراوان و گسترش و ضخامت زیاد می‌باشد. ماسه- مارن- فلیش

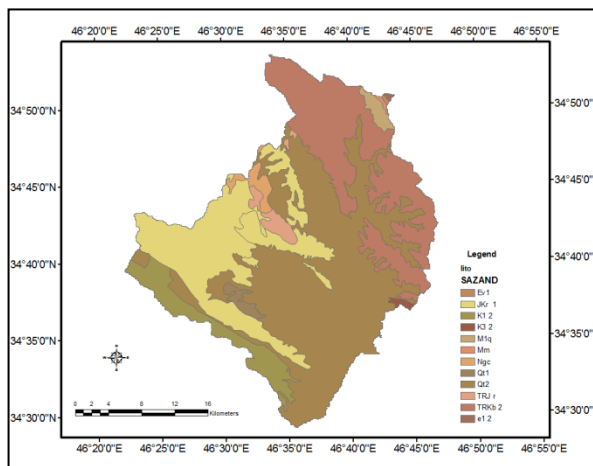
شرق، شرق، قسمت‌هایی از مرکز و غرب حوضه به چشم می‌خورد. اراضی نیمه متراکم نیز جزء کاربری‌های عمده حوضه به شمار می‌رود که عمده مساحت آن در قسمت‌های شمالی حوضه قرار دارد. بعد از اراضی نیمه متراکم کاربری عمده بعدی جنگل تنک می‌باشد که در غرب و جنوب غرب به صورت زبانه‌هایی به چشم می‌خورد. جنگل‌های متراکم و نیمه انبوه نیز از کاربری‌های قابل ذکر در این حوضه است که به صورت محدود در آن به چشم می‌خورد. مساحت کمی نیز به مناطق شهری اختصاص دارد (جراره، ۱۳۸۷: ۳۲).

مرکز دیده می‌شوند. بعد از آن گروه A که مربوط به خاک‌های شنی و قلوه سنگی است و در قسمت‌های شمال شرق و شرق حوضه مشاهده می‌شود. در آخر گروه هیدرولوژیکی C یعنی خاک‌های لومی، لومی-رسی و دارای لایه سخت در عمق خاک و شامل نواحی کوچکی در شمال غرب حوضه می‌باشد. سطح وسیعی از حوضه تحت پوشش اراضی دیم می‌باشد که به صورت پراکنده تقریباً در تمام حوضه قابل مشاهده است. بعد از اراضی دیم مراتع کم تراکم بیشتر مساحت حوضه آبریز روانسر را شامل می‌شود که طبق نقشه (شکل ۵) به صورت پراکنده‌ای در شمال، شمال



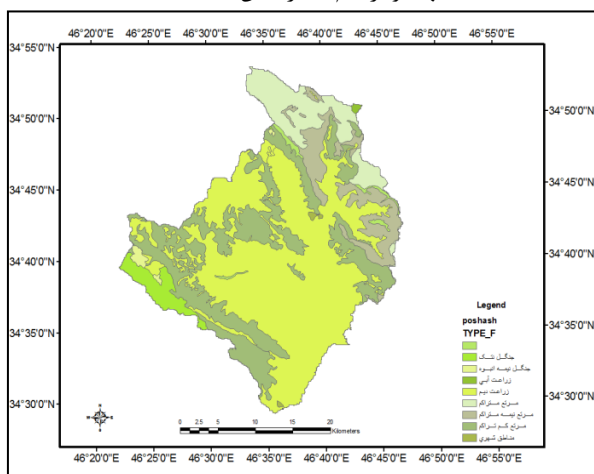
شکل ۳: نقشه خاک

تهیه و ترسیم: نگارندگان، ۱۳۹۱



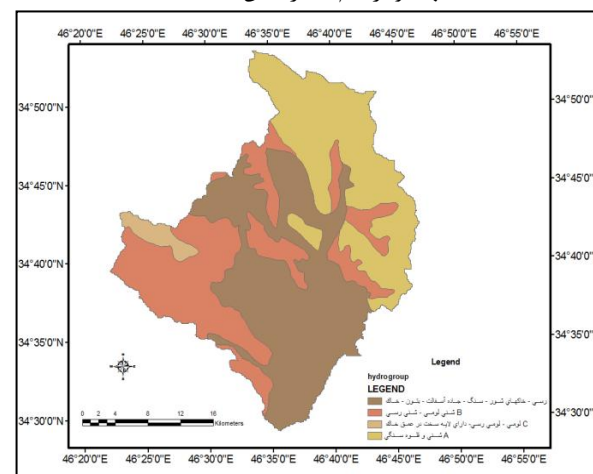
شکل ۲: نقشه زمین‌شناسی

تهیه و ترسیم: نگارندگان، ۱۳۹۱



شکل ۵: نقشه کاربری ارضی

تهیه و ترسیم: نگارندگان، ۱۳۹۱



شکل ۴: نقشه گروه‌های هیدرولوژی خاک

تهیه و ترسیم: نگارندگان، ۱۳۹۱

ب- مواد پژوهش

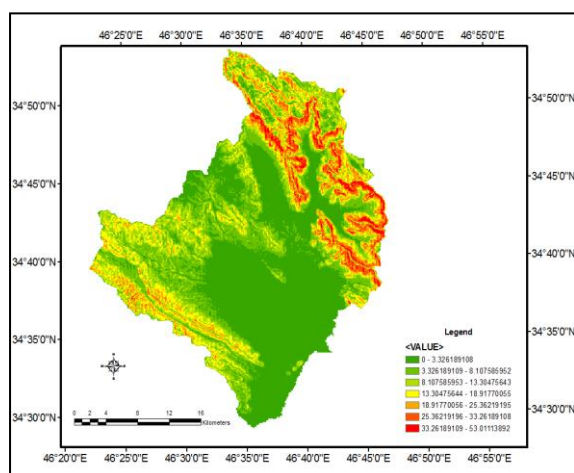
پایه شیب، هیدرولوژی و توپوگرافی (شکل ۶ و ۷) حوضه ترسیم و در ادامه مشخصات فیزیوگرافی و هیدرولوژیکی حوضه در محیط نرم‌افزاری ArcGIS10 محاسبه گردید (جدول ۱).

برای مدل‌سازی، استخراج پارامترهایی فیزیوگرافی و هیدرولوژیکی حوضه بسیار ضروری است. لذا در مرحله نخست به کمک لایه توپوگرافی ۱:۲۰۰۰۰ سازمان جغرافیایی نیروهای مسلح کشور، نقشه‌های

جدول ۱: مشخصات فیزیوگرافی و هیدرولوژی حوضه روانسر

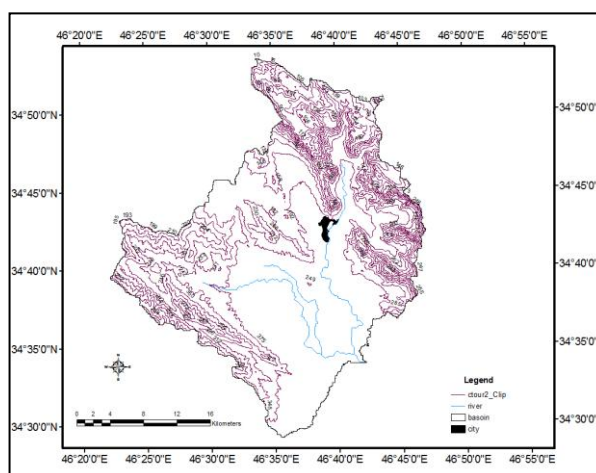
مساحت (km ²)	محیط (km ²)	طول (km)	ضریب شکل	ضریب فشردگی	ضریب گردی	ضریب کشیدگی	طول کل شبکه زهکشی (km ²)	تراکم زهکشی
۱۱۰۳/۰۵	۱۷۲/۳۲۶	۴۱/۳۴	۰/۴۶۸۵	۱/۴۶۳۴	۰/۴۶۶۶	۰/۹۰۸۷	۲۱۱۶/۱۰۳	۱/۹۱۸۴
نسبت انشعاب	ارتفاع در نقطه آغاز آبراهه اصلی (m)	ارتفاع در خروجی حوضه (m)	اختلاف ارتفاع (m)	طول آبراهه اصلی (km)	شیب متوسط آبراهه اصلی (%)	شیب متوسط حوضه (%)	طول آبراهه اصلی (km)	
۲/۰۳۳۶	۲۲۸۰	۱۳۵۰	۹۳۰	۵۸/۴۰۷	۱۵/۹۲	۱۴/۴۷	۵۷/۴۰۷	

مأخذ: مطالعات میدانی نگارندگان، ۱۳۹۱



شکل ۷: نقشه شیب حوضه روانسر

تهیه و ترسیم: نگارندگان، ۱۳۹۱



شکل ۶: نقشه توپوگرافی

تهیه و ترسیم: نگارندگان، ۱۳۹۱

گروه‌های هیدرولوژیکی خاک، کاربری اراضی و پوشش گیاهی لایه شماره منحنی (CN) حوضه تهیه شد (شکل ۹). به‌روش محاسبه وزنی^۱، CN میانگین محاسبه و عدد ۶۶/۵ به دست آمد.

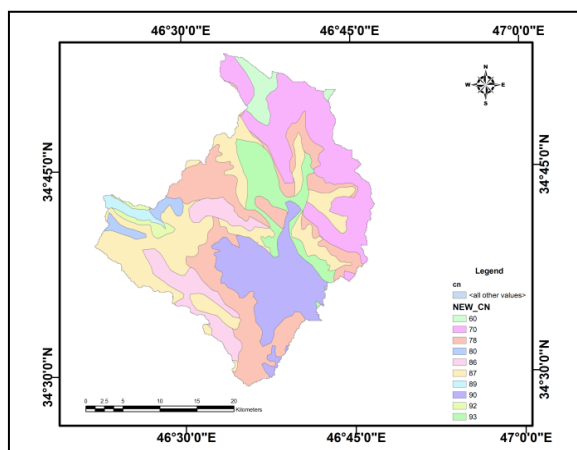
استخراج بارندگی‌های متناظر با برگه سیلاب‌های ثبت شده و تهیه آبنمود سیل ایستگاه‌های آب‌سنجی، مرحله بعدی کار تحقیق بود. سپس مقادیر دبی موجود در برگه‌های سیلاب ثبت شده ایستگاه‌های

در مرحله بعد آمار و اطلاعات مربوط به بارش و دبی به همراه نقشه‌های سیلاب حوضه، از ایستگاه‌های هواشناسی و هیدرومتری گردآوری شد. با توجه به محدودیت ایستگاه‌های هیدرومتری حوضه؛ جهت بالا بردن دقت کار از ایستگاه هواشناسی و هیدرومتری مجاور حوضه نیز استفاده شد (شکل ۸). گام بعدی تحقیق محاسبه CN حوضه است که ارتباط مستقیمی با خصوصیات نفوذپذیری خاک و این پارامتر هم تابعی از چگونگی کاربری اراضی و ویژگی‌های هیدرولوژیکی خاک و نوع پوشش گیاهی است. با تلفیق لایه‌های

۱- مساحت هر منطقه در CN مربوطه ضرب شده و از حاصلضرب مساحت مناطق در CN مربوط به هر پلیگون که بر مساحت کل منطقه تقسیم شده CN وزنی منطقه محاسبه شد.

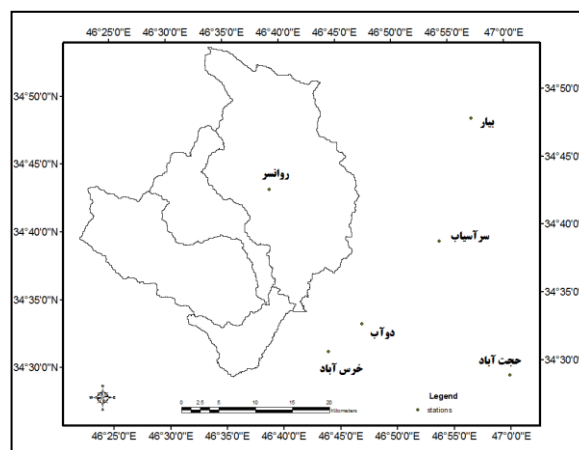
گردید (جدول ۲). این برآوردها به همراه سایر پارامترهای مؤثر در تولید رواناب جهت شبیه‌سازی فرآیند بارش- رواناب وارد مدل‌های هیدرولوژیکی HEC-HMS گردید.

آب‌سنجی، برای هر واقعه بارندگی استخراج و سپس بارندگی روزانه متناظر با آن واقعه استخراج گردید که پس از بررسی آنها ۵ واقعه بارش و سیل متناظر با رعایت همزمانی در کلیه ایستگاه‌ها انتخاب



شکل ۹: نقشه شماره منحنی CN حوزه مورد مطالعه

تهیه و ترسیم: نگارندگان، ۱۳۹۱



نقشه ۸: موقعیت ایستگاه‌ها در حوزه و مناطق همسایه

تهیه و ترسیم: نگارندگان، ۱۳۹۱

جدول ۲: سیلاب‌های منتخب به همراه بارش‌های متناظر آن در منطقه مورد مطالعه

واقعه ۱	تاریخ							
	۶۸/۹/۱۵	۶۸/۹/۱۴	۶۸/۹/۱۳	۶۸/۹/۱۲	۶۸/۹/۱۱	۶۸/۹/۱۰	۶۸/۹/۹	میانگین بارش
	۰	۱/۷	۰/۵	۰	۳/۹	۵۸/۳	۲۹/۲	
واقعه ۲	تاریخ							
	۷۰/۱۲/۱۱	۷۰/۱۲/۱۰	۷۰/۱۲/۹	۷۰/۱۲/۸	۷۰/۱۲/۷	۷۰/۱۲/۶	۷۰/۱۲/۵	۷۰/۱۲/۴
	۱/۸	۴/۵	۱/۹	۰/۵	۳/۷	۰/۸	۱۴/۲	۱۶/۳
واقعه ۳	تاریخ							
				۷۱/۱۱/۱۳	۷۱/۱۱/۱۲	۷۱/۱۱/۱۱	۷۱/۱۱/۱۰	
				۰/۷	۰	۶/۱	۲۲/۲	
واقعه ۴	تاریخ							
					۷۲/۱۰/۲۷	۷۲/۱۰/۲۶	۷۲/۱۰/۲۵	
					۰/۳	۳۸/۴	۶/۶	
واقعه ۵	تاریخ							
	۷۳/۹/۵	۷۳/۹/۴	۷۳/۹/۳	۷۳/۹/۲	۷۳/۹/۱	۷۳/۸/۳۰	۷۳/۸/۲۹	میانگین بارش
	۴/۵	۲۳	۱۲/۳	۶۴/۹	۳۰/۳	۱/۳	۰/۲	

مأخذ: سازمان آب منطقه‌ای استان کرمانشاه

نرم‌افزار که توسط گروه مهندسی هیدرولوژی ارتش آمریکا برای تهیه هیدروگراف سیل عرضه شد دارای چندین زیرمدل در بخش‌های رواناب، جریان سطحی، آب پایه و جریان کلی است. ساختار مدل HMS-HEC شامل ۳ بخش اصلی است که عبارتند از الف- مدل حوضه، ب- مدل هواشناسی، ج- شاخص کنترلی زمان.

ج- روش پژوهش

برای شبیه‌سازی هیدروگراف سیلاب در این پژوهش از مدل HMS-HEC و برای پیش‌بینی از نرم‌افزار 'hyfa استفاده شد. مدل HMS-HEC یکی از مدل‌های ریاضی کامپیوتری است که جهت شبیه‌سازی رفتار هیدرولوژیکی حوضه‌های آبریز به کار می‌رود. این

- فرآیند مدل‌سازی و محاسبات

- مدل حوضه: محاسبات مربوط به تعیین میزان تلفات در حوضه، تبدیل بارش مازاد به رواناب، مقدار جریان پایه و شبیه‌سازی جریان در کانال‌ها و مخازن در مدل حوضه انجام می‌پذیرد. یکی از پارامترها اصلی مدل حوضه، مساحت حوضه است. مساحت محاسبه شده حوضه روانسر ۱۱۰۳/۰۵ کیلومتر مربع می‌باشد.

- تلفات حوضه: در این تحقیق جهت محاسبه تلفات رواناب حوضه، از روش شبکه‌ای SCS یا روش عدد منحنی^۱ استفاده شده است (جدول ۳) که روابط آن به صورت زیر می‌باشد:

$$Pe = \frac{(P - Ia)^2}{P - Ia + S} \quad \text{رابطه ۱:}$$

Pe: ارتفاع بارش مؤثر (رواناب) به میلی‌متر (رابطه ۱)

P: ارتفاع بارندگی به میلی‌متر

Ia: تلفات اولیه به میلی‌متر (رابطه ۲)

$$Ia = a \cdot s \quad \text{رابطه ۲:}$$

در این فرمول a ضریبی است که مقدار آن ۰/۲ می‌باشد (مزیدی و همکار، ۱۳۹۴: ۵).

S: حداکثر پتانسیل ذخیره حوضه به میلی‌متر (رابطه ۳)

$$s = \frac{25400 - 254CN}{CN} \quad \text{رابطه ۳:}$$

- رواناب حوضه: جهت تبدیل فرآیند بارش مازاد به جریان سطحی در حوضه از روش هیدروگراف واحد SCS استفاده شده است. هیدروگراف واحد SCS، بی‌بعد و تک‌اوجی می‌باشد. این هیدروگراف نسبت بین آبدهی هیدروگراف واحد در هر زمان (Ut) (رابطه ۴) و آبدهی هیدروگراف واحد در زمان رسیدن به اوج (Up) (رابطه ۵) را در برابر نسبت بین زمان‌های آنها (T)، به زمان رسیدن به آبدهی اوج (Tp) نشان می‌دهد. ارتباط بین آبدهی اوج و زمان رسیدن به این آبدهی در رابطه زیر تعیین شده است:

$$UP = 2.08 \frac{A}{Tp} \quad \text{رابطه ۴:}$$

$$TP = \frac{\Delta t}{2} + Tiag \quad \text{رابطه ۵:}$$

در معادله فوق A برابر با مساحت و Δt تداوم بارندگی مازاد و Tiag زمان تأخیر حوضه است. برای محاسبه زمان تأخیر (Tiag) از روش SCS استفاده شد (رابطه ۶):

$$Tiag = \frac{L^{0.8}(S+1)^{0.7}}{1900Y^{0.5}} \quad \text{رابطه ۶:}$$

در این فرمول Tiag زمان تأخیر حوضه بر حسب ساعت، L طول رودخانه اصلی بر حسب فوت، Y متوسط شیب حوضه (درصد) و S نمایه نگهداشت آب در داخل حوضه بر حسب اینچ (رابطه ۷). در این فرمول CN نمایه خصوصیات حوضه از نظر نفوذپذیری است (جدول ۳).

$$S = \frac{1000}{CN} - 10 \quad \text{رابطه ۷:}$$

برای محاسبه زمان تمرکز (tc) از رابطه زیر (رابطه ۸) استفاده شده است (علیزاده، ۱۳۸۵: ۳۴۵).

$$tc = \frac{3}{5} Tiag \quad \text{رابطه ۸:}$$

- جریان پایه: جریان پایه ثابت با مقادیر متغیر ماهانه ساده‌ترین روش محاسبه جریان پایه در روش HMS-HEC است. در این روش، جریان پایه ثابت در نظر گرفته شده و می‌تواند بصورت ماهانه تغییر کند. با جمع این مقادیر ثابت با رواناب مستقیم ناشی از بارندگی، هیدروگراف جریان بدست می‌آید (محمودیان، ۱۳۸۱: ۱۰۶۴). در این تحقیق از مقادیر دبی ثابت ماهانه محاسبه شده توسط شرکت سهامی آب منطقه‌ای غرب بهره گرفته شد (شرکت سهامی آب منطقه‌ای، ۱۳۸۸).

جدول ۳: برخی خصوصیات فیزیوگرافی حوضه

طول آبراهه اصلی (ft)	میانگین CN	توان تلفات (in)	درصد اراضی غیر قابل نفوذ	شیب متوسط حوضه (درصد)	زمان تأخیر (ساعت)	زمان تمرکز (ساعت)
۱۹۱۶۲۱/۷	۶۶/۵	۵	۲/۸	۱۴/۴۷	۱۱/۹	۴/۹۲

مأخذ: مطالعات میدانی نگارندگان، ۱۳۹۱

- شبیه‌سازی جریان در کانال‌ها و مخازن

برای روندیابی سیلاب در مقاطع مختلف رودخانه به علت نبود مقاطع عرضی رودخانه‌ها از روش روندیابی هیدرولوژیکی ماسکینگام استفاده شد.

- مدل هواشناسی

تحلیل داده‌های هواشناسی و دو جز اصلی آن (بارندگی و تبخیر و تعرق) توسط مدل هواشناسی انجام می‌گیرد. در این پژوهش برای تحلیل داده‌های بارندگی از روش هیتوگراف سفارشی^۱ و برای داده‌های تبخیر و تعرق از میانگین ماهانه آن استفاده شد. در مطالعاتی که در زمینه بارش و رواناب حاصل از آن در سطح یک حوضه انجام می‌شود، انتخاب بارشی که در حوضه مورد نظر دارای توزیع مناسبی باشد و سطح حوضه را به طور کامل پوشش دهد، بسیار مهم است. از این رو پس از بررسی یک دوره بارش روزانه ثبت شده در ایستگاه‌های باران سنجی منطقه مورد مطالعه و اطراف آن از نقطه نظر فراگیر بودن کل سطح حوضه و شکل هیدروگراف‌های استخراج شده از برگ سیلاب‌های ثبت شده ایستگاه‌های هیدرومتری موجود در حوضه مورد نظر و تداوم بارش‌های انتخابی، ۵ واقعه بارش روزانه برای زیرحوضه انتخاب شد و صحت هر واقعه از نظر پوشش سطح حوضه و توزیع مناسب در کل حوضه مورد ارزیابی قرار گرفت و سپس مقادیر متوسط بارش در سطح حوضه برای هر دوره بارندگی به روش خطوط همباران و با استفاده از نرم‌افزار ArcGIS نقشه همباران روزانه هر واقعه بارش به صورت جداگانه تهیه که در مجموع ۱۲۲۴ نقشه

همباران برای حوضه و زیر حوضه‌های آن ترسیم گردید.

- مشخصه‌های کنترل

ویژگی‌های کنترلی به همراه اجزای حوضه و هواشناسی برای مدیریت اجرای مدل فعال می‌شود. تاریخ و زمان شروع اجرای مدل و تاریخ و زمان پایان اجرای مدل در این بخش تنظیم شد. تاریخ و ساعت شروع و اتمام پروژه، همچنین دسته‌بندی زمان محاسبات یا گام‌های زمانی در این بخش معرفی شد.

واسنجی و اعتباریابی

گام بعدی پس از اجرای مدل واسنجی و اعتباریابی مدل است. جهت تصحیح خطاهای مشاهده شده در نتایج، کالیبراسیون یا واسنجی مدل انجام گرفت و در ادامه با انتخاب سه واقعه بارش - رواناب منتخب مدل اعتباریابی شد.

در آخرین مرحله تحقیق به کمک نرم‌افزار hyfa^۲ و آمار دبی حداکثر سالانه و حداکثر بارش ۲۴ ساعته ایستگاه‌های هیدرومتری و هواشناسی در سال‌های آبی ۱۳۳۳-۱۳۳۴ تا ۱۳۸۸-۱۳۸۷ دوره بازگشت‌های سیلاب حوضه بررسی شد.

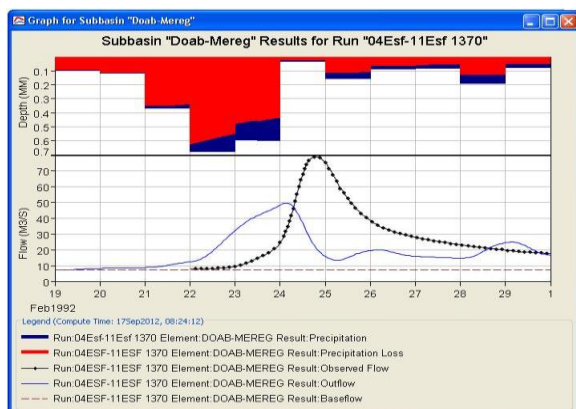
بحث

اجرای مدل: در ابتدا آمار دبی از برگه سیلاب‌های ثبت شده ایستگاه‌های هیدرومتری استخراج و در ادامه برای هر واقعه بارش، نخست میانگین محاسبه و سپس هیدروگرافش ترسیم شد. سپس با بررسی هیدروگراف‌ها از لحاظ داشتن شاخه صعودی و نزولی

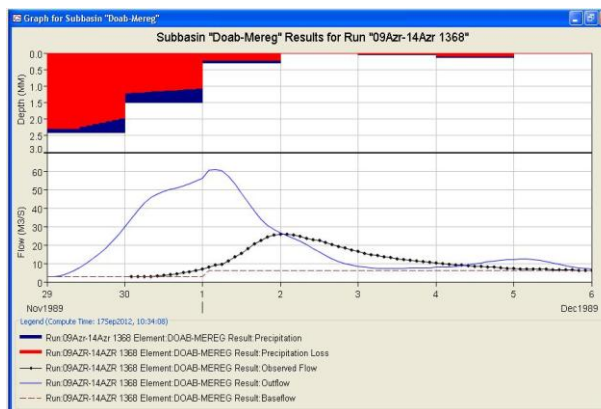
مقدار واقعی نشان خواهد داد و برعکس (محسنی ساروی و همکار، ۱۳۸۸: ۶۷). با مشاهده هیدروگراف‌های ترسیمی حوضه در اشکال ۱۰ تا ۱۴ میزان اختلاف شدید داده‌ها در محاسبه زمان دبی اوج حجم سیلاب و زمان وقوع سیلاب به خوبی قابل مشاهده است. با تحلیل هیدروگراف‌های ترسیمی بارش در تاریخ‌های ۱۳۶۸/۹/۹ و ۱۳۷۲/۱۰/۲۷ و ۱۳۷۳/۸/۲۸ مقادیر محاسباتی در برآورد حجم سیلاب و دبی اوج بیشتر از مقادیر واقعی آنها است (شکل ۱۰ و ۱۳ و ۱۴). در مقابل در تاریخ‌های ۱۳۰/۱۲/۴ و ۱۳۷۱/۱/۱۰ مقادیر محاسباتی در برآورد حجم سیلاب و دبی اوج کمتر از مقادیر واقعی آنها می‌باشد (شکل ۱۱ و ۱۲). همچنین در همه هیدروگراف‌ها، زمان دبی اوج بصورت میانگین یک روز زودتر از زمان واقعی آنها محاسبه شده است. بر این اساس و با توجه به درصد بالای خطاها در محاسبه پارامترهای معرفی شده به مدل (جدول ۴)، فرآیند کالیبراسیون یا واسنجی انجام گرفت.

و طول مدت بارش و همزمانی وقوع بارش و سیلاب رخ داده شده، هیدروگراف‌های مناسب انتخاب شدند. در مرحله بعد بارندگی روزانه متناظر با آن واقعه سیلاب استخراج گردید. در نهایت با بررسی‌های انجام شده ۵ واقعه بارش و سیلاب متناظر، با رعایت همزمانی در ایستگاه‌های مورد مطالعه انتخاب گردید. داده‌های سیلاب‌های منتخب به مدل HEC-HMS وارد شدند. شبیه‌سازی برای کل حوضه انجام گرفت و مدل اولیه استخراج شد (جدول ۴).

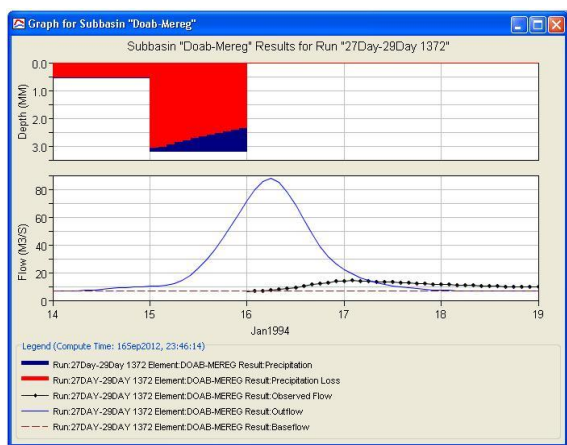
اگر هیدروگراف‌های محاسباتی (خط آبی) بر هیدروگراف‌های مشاهده‌ای (خط مشکی) منطبق گردند یعنی محاسبات مقادیر پارامترهای معرفی شده به مدل دقیق انجام شده است. در واقع مدل به خوبی توانسته خصوصیات فیزیکی و پوشش سطح حوضه و ویژگیهای بارندگی از قبیل شدت، مدت و یکنواختی آن را شبیه‌سازی کند (آذری، ۱۳۸۸: ۴۸). اما اگر نقاط زیر خط قرار گیرند، مدل مقادیر پیش‌بینی را کمتر از



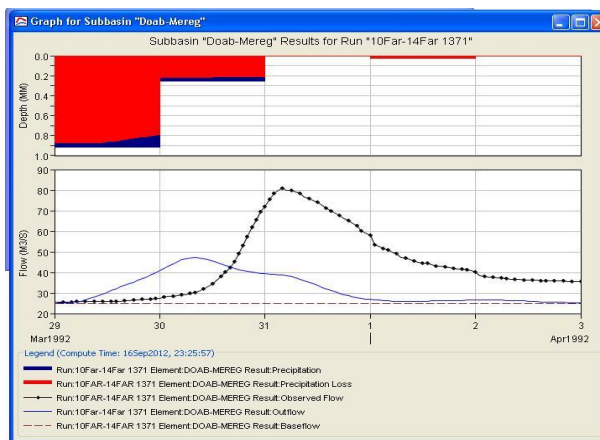
شکل ۱۱: آبنمود شبیه‌سازی شده و مشاهده شده بارش تاریخ ۱۳۷۰/۱۲/۴ تا ۱۳۷۰/۱۲/۱۱



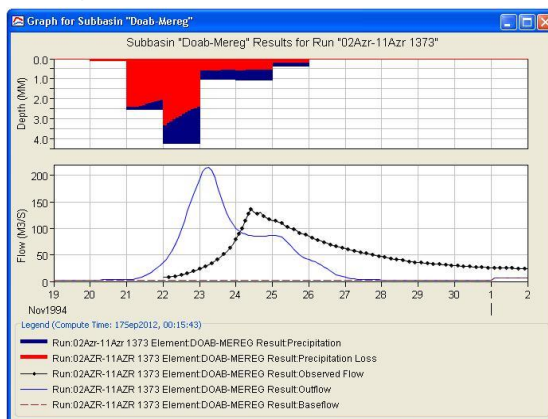
شکل ۱۰: آبنمود شبیه‌سازی شده و مشاهده شده بارش تاریخ ۱۳۶۸/۹/۹ تا ۱۳۶۸/۹/۱۵



شکل ۱۳: آبنمود شبیه‌سازی شده و مشاهده شده بارش تاریخ ۱۳۷۲/۱۰/۲۹ تا ۱۳۷۲/۱۰/۲۷



شکل ۱۲: آبنمود شبیه‌سازی شده و مشاهده شده بارش تاریخ ۱۳۷۳/۱/۱۳ تا ۱۳۷۱/۱/۱۰



شکل ۱۴: آبنمود شبیه‌سازی شده و مشاهده شده بارش تاریخ ۱۳۷۳/۸/۲۸ تا ۱۳۷۳/۹/۵

تهیه و ترسیم: نگارندگان، ۱۳۹۱

جدول ۴: نتایج شبیه‌سازی مدل HEC-HMS بر مبنای استفاده از مدل ثابت روزانه به عنوان مدل دبی پایه

تاریخ وقوع بارش	مقدار بارش	دبی مشاهداتی	دبی محاسباتی	CN	IA	T Lag	حجم سیلاب	حجم سیلاب محاسباتی
۱۳۶۸/۹/۱۵ تا ۱۳۶۸/۹/۹	۹۳/۶	۲۵/۸	۶۱/۲	۶۶/۵	۲۵/۵۸	۷۱۴	۵/۲۸	۸/۸۹
۱۳۷۰/۱۲/۱۱ تا ۱۳۷۰/۱۲/۴	۴۳/۷	۷۹/۱	۴۹/۷	۶۶/۵	۲۵/۵۸	۷۱۴	۱۶/۹۳	۱۰/۶۶
۱۳۷۱/۱/۱۳ تا ۱۳۷۱/۱/۱۰	۲۹	۸۰/۸	۴۸/۵۵	۶۶/۵	۲۵/۵۸	۷۱۴	۱۵/۱۷	۱۲/۵۵
۱۳۷۲/۱۰/۲۷ تا ۱۳۷۲/۱۰/۲۵	۴۵/۳	۱۴/۲	۸۷/۹	۶۶/۵	۲۵/۵۸	۷۱۴	۱/۸۳	۲/۸۴
۱۳۷۳/۸/۲۹ تا ۱۳۷۳/۹/۵	۱۳۶/۵	۱۴۶/۵	۲۱۰/۳	۶۶/۵	۲۵/۵۸	۷۱۴	۲۱/۶۴	۳۵/۲۵

مأخذ: مطالعات میدانی نگارندگان، ۱۳۹۱

با داده‌های قدیمی سازگار شود. با توجه به اینکه دبی اوج و حجم سیلاب محاسباتی با مقدار مشاهداتی اختلاف زیادی دارند، در طی فرآیند واسنجی سعی شد تا مقادیر پارامترهای معرفی شده به مدل با هدف دسترسی به نتایج همگون با داده‌های واقعی تصحیح

واسنجی یا کالیبراسیون مدل فرایند واسنجی عبارت است از تغییر دادن پارامترهای مدل تا آنجا که انطباق قابل قبولی بین نتایج مدل و مشاهدات اندازه‌گیری شده حاصل گردد. در واقع روندی است برای تنظیم پارامترها تا اینکه نتایج مدل

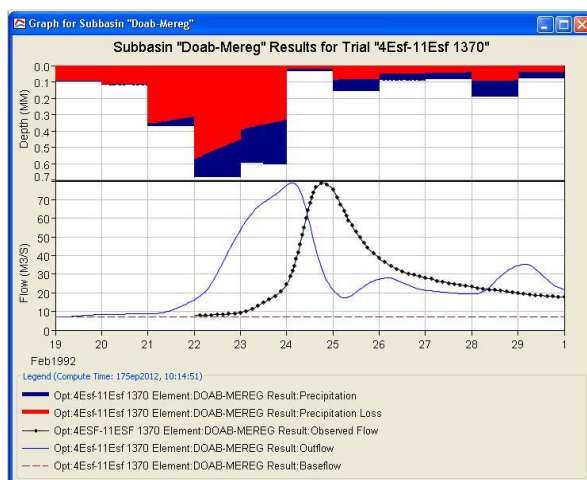
کاهش یافت. یعنی مقادیر دبی اوج محاسباتی با اطمینان ۹۹ درصد جهت پیش‌بینی قابل اطمینان است. در مرحلهٔ واسنجی میزان خطا در محاسبه‌ی حجم سیلاب نیز کاهش چشمگیری داشت. مقدار این خطا به ۱۱/۱ درصد کاهش یافت (اشکال ۱۵ تا ۱۹). نکته قابل توجه در هیدروگراف‌ها عدم تطابق بازوی پایین رونده‌ی هیدروگراف‌های مشاهداتی و محاسباتی است که بعد از واسنجی نیز به صورت کامل بر هم منطبق نشدند. این مساله می‌تواند ناشی نقشه خاک، گروه‌های هیدرولوژیکی خاک و یا نقشه کاربری اراضی (آذری، ۱۳۸۸: ۴۸) باشد. برای بهبود بخشی نتایج مدل لازم است آخرین تغییرات در کاربری ارضی مورد توجه قرار گیرد.

شود. جهت تصحیح و به حداقل رساندن این اختلاف، با استفاده از تابع هدف درصد خطای دبی اوج^۱ پارامترهای متغیرمدل یعنی شماره منحنی (CN)، تلفات اولیه (Ia) و زمان تأخیر (Tiag) مورد واسنجی قرار گرفته و تلاش گردید که هیدروگراف‌های محاسبه شده حداکثر انطباق را با هیدروگراف‌های مشاهده شده داشته باشند (جدول ۵). پس از انجام واسنجی تغییراتی در پارامترها ایجاد شد و هیدروگراف‌های شبیه‌سازی شده به هیدروگراف‌های مشاهداتی نزدیک شد. نمودارهای ترسیمی کالیبره شده در اشکال ۱۵ تا ۱۹ نشان می‌دهند که داده‌های محاسباتی در برآورد دبی‌های اوج به داده‌های واقعی بسیار نزدیک شدند، بطوریکه میزان خطای به کمتر از ۰/۷ درصد

جدول ۵: نتایج حاصل از واسنجی مدل HEC-HMS بر مبنای استفاده از مدل ثابت روزانه به عنوان مدل دبی پایه

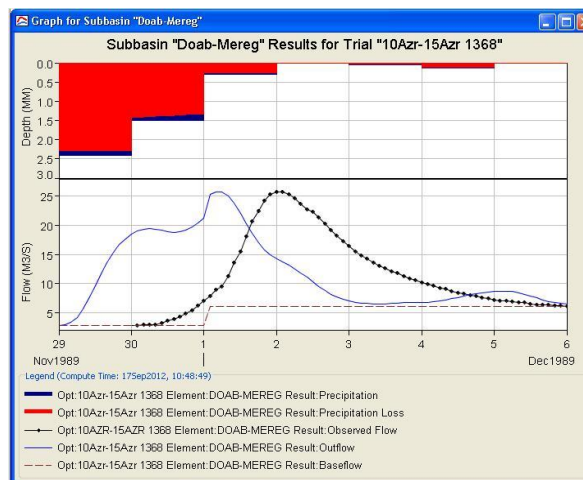
تاریخ وقوع بارش	مقدار بارش (mm)	دبی مشاهده‌ای (m ³ /s)	دبی محاسباتی (m ³ /s)	CN	I A (mm)	T Lag (hr)	حجم سیلاب مشاهده‌ای (میلیون متر مکعب)	حجم سیلاب محاسباتی (میلیون متر مکعب)
۱۳۶۸/۹/۱۵ تا ۱۳۶۸/۹/۹	۹۳/۶	۲۵/۸	۲۵/۸	۳۵	۲۹	۷۲۴	۵/۲۸	۶/۴۶
۱۳۷۰/۱۲/۱۱ تا ۱۳۷۰/۱۲/۴	۴۳/۷	۷۹/۱	۷۹/۱	۶۸	۶	۷۱۱	۱۶/۹۳	۲۳/۸
۱۳۷۱/۱/۱۰ تا	۲۹	۸۰/۸	۸۰/۸	۷۶	۵/۷	۷۱۴	۱۵/۱۷	۱۶/۲
۱۳۷۲/۱۰/۲۵ تا	۴۵/۳	۱۴/۲	۱۴/۲	۶۶	۳۰	۹۹۹	۱/۸۳	۳/۷
۱۳۷۳/۹/۵ تا ۱۳۷۳/۸/۲۹	۱۳۶/۵	۱۴۶/۵	۱۳۶/۷	۶۵	۴۴	۹۴۱	۲۱/۶۴	۳۰/۰۶

مأخذ: مطالعات میدانی نگارندگان، ۱۳۹۱



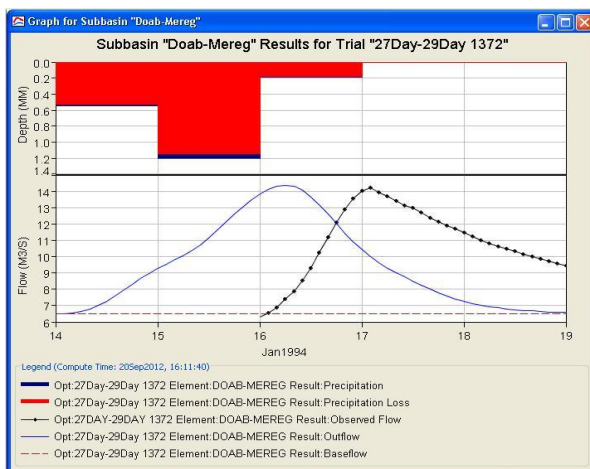
شکل ۱۶: آبنمود سیل واسنجی شده و مشاهده شده بارش

تاریخ ۱۳۷۰/۱۲/۱۱ تا ۱۳۷۰/۱۲/۴



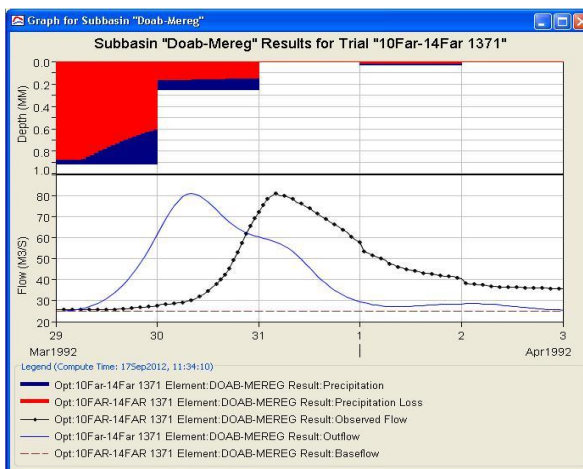
شکل ۱۵: آبنمود سیل واسنجی شده و مشاهده شده بارش

تاریخ ۱۳۶۸/۹/۱۵ تا ۱۳۶۸/۹/۹



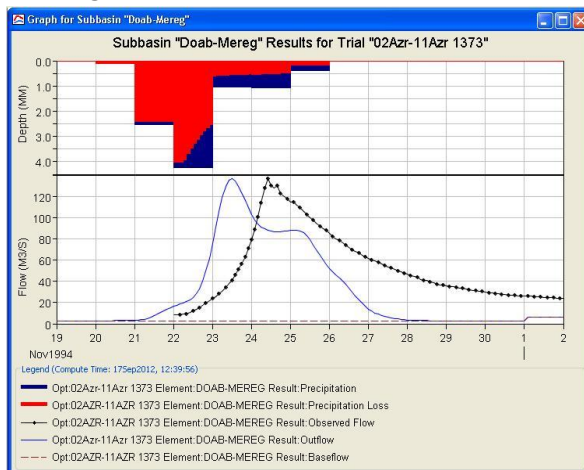
شکل ۱۸: آبنمود سیل واسنجی شده و مشاهده شده بارش

تاریخ ۱۳۷۲/۱۰/۲۵ تا ۱۳۷۲/۱۰/۲۷



شکل ۱۷: آبنمود سیل واسنجی شده و مشاهده شده بارش

تاریخ ۱۳۷۱/۱/۱۰ تا ۱۳۷۱/۱/۱۳



شکل ۱۹: آبنمود سیل واسنجی شده و مشاهده شده بارش

تاریخ ۱۳۷۳/۸/۲۹ تا ۱۳۷۳/۹/۵

تهیه و ترسیم: نگارندگان، ۱۳۹۱

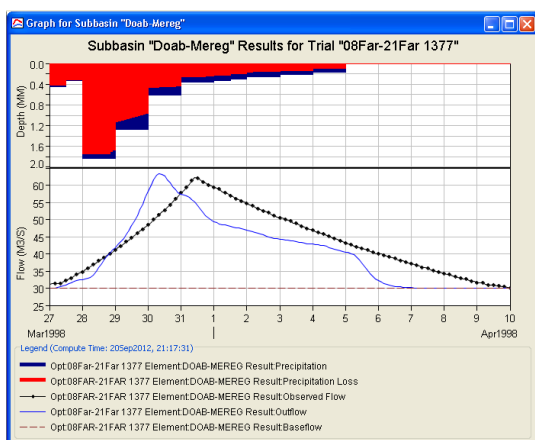
واقعه بارشی شبیه‌سازی، کاهش محسوسی دارند (اشکال ۲۰ و ۲۱ و ۲۲) به طوری که هیدروگراف‌های محاسباتی، با میانگین خطای ۰/۷ درصد در برآورد دبی اوج و با میانگین خطای ۳/۳۳- در محاسبه حجم سیلاب با هیدروگراف‌های مشاهداتی انطباق یافتند. در واقع هیدروگراف‌های پایانی نشان دهنده صحت مقادیر پارامترهای واسنجی شده است و می‌توان از این مقادیر در مدل نهایی بارش- رواناب حوضه استفاده کرد.

اعتباریابی مدل: پس از انجام واسنجی مدل و بدست آمدن مقادیر جدید و برازش شده برای پارامترهای مورد استفاده در مدل، نوبت به بررسی صحت پارامترهای جدید رسید. بدین منظور از سه واقعه بارش دیگر استفاده شد. پس از ورود پارامترهای جدید به مدل، هیدروگراف‌های مربوط به وقایع منتخب بارشی جدید محاسبه و شبیه‌سازی شدند (جدول ۶). بررسی نمودارها در مرحله اعتباریابی نشان می‌دهد که از میزان خطاهای محاسباتی نسبت به ۵

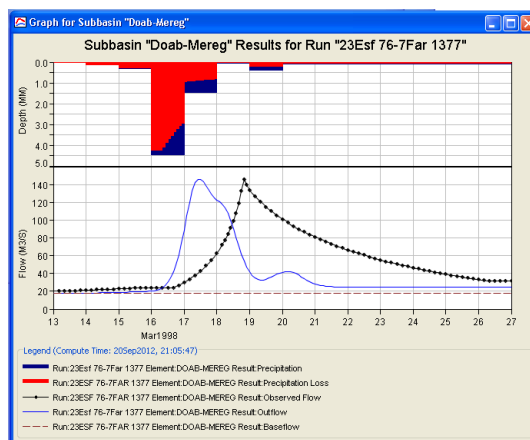
جدول ۶: نتایج حاصل از اعتبار‌یابی مدل HEC-HMS بر مبنای استفاده از مدل ثابت روزانه به عنوان مدل دبی پایه

T Lag	IA	CN	خطا (درصد)	حجم سیلاب		خطا (درصد)	دبی اوج		کل بارش (میلیمتر)	تاریخ وقوع بارش
				محاسباتی	مشاهداتی		محاسباتی	مشاهداتی		
۸۱۷	۲۲/۲	۶۰	-۲۷/۹۲	۴۱/۷	۵۷/۸۵	۰/۱	۱۴۶/۱	۱۴۶	۸۸/۷۰	۷۷/۱/۷ تا ۷۶/۱۲/۲۵
۸۱۷	۲۲/۲	۶۰	-۷/۱۹	۴۴/۴۴	۴۷/۸۹	۱/۹	۶۳/۴	۶۲/۲	۶۵/۰۵	۷۷/۱/۲۱ تا ۷۷/۱/۱۸
۸۱۷	۲۲/۲	۶۰	۲۵/۱۲	۱۱/۲۵	۸/۹۹	۰/۱	۱۸/۲	۱۸/۲	۳۹/۵	۸۶/۱/۱۴ تا ۸۶/۱/۱۷

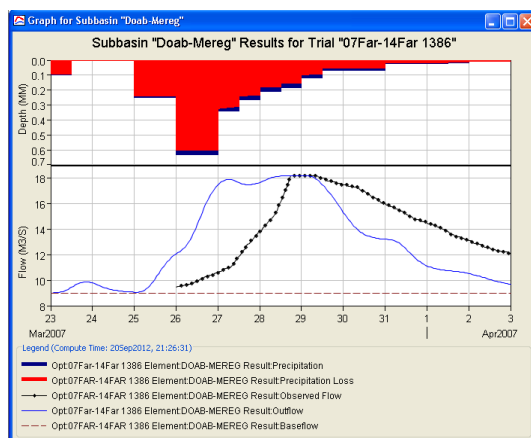
مأخذ: مطالعات میدانی نگارندگان، ۱۳۹۱



شکل ۲۱: آبنمود سیل اعتباریابی شده و مشاهده شده بارش تاریخ ۱۳۷۷/۱/۲۱ تا ۱۳۷۷/۱/۱۸



شکل ۲۰: آبنمود سیل اعتباریابی شده و مشاهده شده بارش تاریخ ۱۳۷۷/۱/۷ تا ۱۳۷۶/۱۲/۲۵



شکل ۲۲: آبنمود سیل اعتباریابی شده و مشاهده شده بارش تاریخ ۱۳۸۶/۱/۱۴ تا ۱۳۸۶/۱/۷

تهیه و ترسیم: نگارندگان، ۱۳۹۱

۱۳۸۷-۱۳۸۸ استخراج شد. پس از استخراج داده‌ها با استفاده از توزیع‌های آماری نرمال، لوگ نرمال ۲ پارامتری، لوگ نرمال ۳ پارامتری، گاما ۲ پارامتری،

بیش‌بینی وقوع سیلاب با نرم‌افزار hyfa: ابتدا آمار دبی‌های حداکثر لحظه‌ای ایستگاه‌های مورد مطالعه، بین سال‌های آبی ۱۳۳۳-۱۳۳۴ تا

۲ پارامتری می‌باشد که نتایج آن در جدول ۷ ارائه شده است. علاوه بر آن درصد احتمال وقوع سیلاب‌ها نیز با استفاده از نرم‌افزار مذکور برآورد شده که نتایج در جدول ۸ ارائه شده است. بر اساس نتایج حاصله، درصد احتمال خطا در دوره بازگشت ۲ ساله کمتر و رفته رفته با افزایش تعداد سال به میزان خطا افزوده می‌شود.

پیرسون، لوگ پیرسون و گامبل مورد بررسی و برون‌یابی قرار گرفت و دوره‌های بازگشت ۲ ساله، ۵ ساله، ۱۰ ساله، ۲۰ ساله، ۵۰ ساله، ۱۰۰ ساله و... محاسبه شد. جهت دستیابی به نتایج بهتر، آزمون k بر روی داده‌ها اعمال گردید. بر اساس نتایج حاصله، مناسب‌ترین توزیع آماری که داده‌های مورد نظر با آن برازش یافتند و حداقل خطا را نشان داند توزیع گامای

جدول ۷: حداکثر دبی‌های لحظه‌ای بر اساس توزیع گامای دو دوره‌های بازگشت ۲ تا ۵۰۰ سال

توزیع متخ	سال ۲	سال ۵	سال ۱۰	سال ۲۰	سال ۲۵	سال ۵۰	سال ۱۰۰	سال ۲۰۰	سال ۵۰۰
حد اکثر دبی‌های لحظه‌ای در دوره‌های بازگشت m^3/s	۵۰/۱۵۷	۱۰۵/۸۴۹	۱۴۶/۸۰۵	۱۸۷/۶۷۵	۲۰۰/۸۶۸	۲۴۲/۰۲	۲۸۳/۵۳۲	۳۲۵/۴۴۹	۳۸۱/۵۴۶

مأخذ: مطالعات میدانی نگارندگان، ۱۳۹۱

جدول ۸: درصد احتمال وقوع دوباره سیلاب‌ها

دوره بازگشت	سال ۲	سال ۵	سال ۱۰	سال ۲۰	سال ۲۵
درصد احتمال	۰/۲۰۰	۰/۴۰۰	۰/۶۰۰	۰/۸۰۰	۰/۹۷۷
مقدار دبی m^3	۱۸/۵۱	۳۸/۴۱۲	۶۴/۰۸۲	۱۰۵/۸۴۹	۱۳۴/۳۹۵

مأخذ: مطالعات میدانی نگارندگان، ۱۳۹۱

نتیجه

سیل مانند سایر پدیده‌های هیدرولوژیکی، پدیده‌ای تصادفی است و در هر زمان و هر مکانی احتمال رویداد آن وجود دارد و معمولا به همین دلیل تعیین زمان دقیق وقوع سیل امکان پذیر نیست، ولی پیش‌بینی بروز آن با توجه به وقایع هیدرولوژیکی مشاهده شده در گذشته، دور از دسترس نمی‌باشد. مدل HEC-HMS یکی از مدل‌های هیدرولوژیکی است که کارایی بسیار بالایی در پروژه‌های هشدار سیل در جهان را به خود اختصاص داده است. در این پژوهش به کمک مدل HEC-HMS شبیه‌سازی حجم و دبی‌های اوج سیلاب‌های حوضه در طی ۱۸ سال گذشته (۱۳۶۸ تا ۱۳۸۶) انجام گرفت. مهمترین نتایج حاصله از این تحقیق به شرح ذیل است.

۱- نتایج اعتبارسنجی مدل HEC-HMS در این پژوهش دلالت بر میانگین اختلاف ۰/۷ درصد در برآورد دبی اوج سیلاب و میانگین اختلاف ۳/۳- در محاسبه حجم سیلاب دارد. داده‌های پایانی نشان می‌دهند که مدل زمانی در برآورد دبی‌های اوج و حجم سیلاب‌ها توانمند است که پارامترهای متغیر مدل (شماره منحنی (CN)، تلفات اولیه (Ia) و زمان تأخیر (Tiag) به درستی محاسبه شده و مورد واسنجی قرار گیرند و در ادامه روند شبیه‌سازی با وقایع جدید بارشی مجددا اعتبارسنجی شوند. نتایج پژوهش محققانی همچون کافله (۲۰۰۷)، رازی (۲۰۱۰)، بهمنی (۱۳۹۰)، مزیدی (۱۳۹۲)، شگری کوچک (۱۳۹۰) و پورحسین قادری (۱۳۹۲) نیز بر موضوع تأکید دارند که به شرط منظور کردن پارامترهای

منابع

- آذری، محمود؛ علی‌اکبر متکان؛ علیرضا شکیبیا؛ سیدحسین پورعلی (۱۳۸۸). شبیه‌سازی و هشدار سیل با تلفیق مدل‌های آب‌شناس در GIS و برآورد بارش از طریق سنجش از دور، زمین‌شناسی ایران. شماره ۹. صفحات ۵۱-۳۹.
- بهمنی، رامین؛ فریدون رادمنش؛ محسن رضایی‌حصاری (۱۳۹۰). پیش‌بینی سیلاب حوضه رودزرد به کمک مدل‌های هیدرولوژیکی HEC-HMS و HEC-GeoHMS. چهارمین کنفرانس مدیریت منابع آب ایران. ۱۳ و ۱۴ اردیبهشت ۱۳۹۰. دانشگاه صنعتی امیرکبیر.
- پورحسین قادری، سیما؛ بایرامعلی محمدنژاد (۱۳۹۲). مدل‌سازی بارش- رواناب در حوضه آبخیز نازلوچای ارومیه با استفاده از مدل WMS/HEC-HMS. پنجمین کنفرانس مدیریت منابع آب ایران در سال ۱۳۹۲. تهران. انجمن علوم و مهندسی منابع آب ایران. دانشگاه شهید بهشتی.
- جراه، کاوه (۱۳۸۷). بررسی ضریب شاخه خشکیدگی در منحنی فروکش جریان و ارتباط آن با ویژگی‌های فیزیکی حوضه (مطالعه موردی: حوضه آبخیز قره‌سو، استان کرمانشاه)، پایان‌نامه کارشناسی ارشد. دانشکده منابع طبیعی. دانشگاه مازندران.
- جهانبخش، محمدرضا؛ حیدرعلی کشکولی؛ سعید شعبانلو (۱۳۹۱). مقایسه میزان سیلاب در مقیاس حوضه با استفاده از مدل HEC-HMS و سامانه اطلاعات جغرافیا (GIS)، نهمین سمینار بین‌المللی مهندسی رودخانه بهمن‌ماه. اهواز. دانشگاه شهید چمران.
- جهاندیده، کامران؛ رسول قبادیان؛ هاجر جهاندیده؛ فریدون جهاندیده (۱۳۸۹). ارزیابی و واسنجی مدل WMS/HEC-HMS در حوضه آبریز قره‌سو، اولین همایش ملی مدیریت منابع آب اراضی ساحلی. ساری. دانشگاه علوم کشاورزی و منابع طبیعی ساری.

منطقی و واسنجی شده، مدل امکان دسترسی آسان به روشهای مختلف برای محاسبه پارامترهای مختلف هیدرولوژیکی را دارد و دارای قابلیت‌های بالایی جهت مطالعات (کنترل سیل و هیدرولوژی) است.

۲- واسنجی و اعتباریابی ۸ واقعه بارش منتخب در این پژوهش نشان داد که هیدروگراف‌های محاسباتی، با میانگین خطای ۰/۴ درصد در برآورد دبی اوج و با میانگین خطای ۴/۱ درصد در محاسبه حجم سیلاب با هیدروگراف‌های مشاهداتی انطباق یافتند. بر این اساس می‌توان گفت نتایج هیدروگراف‌های محاسباتی مدل HEC-HMS در محاسبه دبی اوج از دقت بیشتری برخوردار هستند. با بررسی نتایج پژوهش‌های حسادی (۱۳۹۵)، بهمنی (۱۳۹۰) و آذری (۱۳۸۸) نیز این موضوع تایید می‌شود.

۳- مناسب‌ترین توزیع آماری که دبی‌های حداکثر لحظه‌ای ایستگاه‌های جهت پیش‌بینی سیلاب با آن برازش یافت، به دلیل داشتن حداقل خطا مربوط به توزیع گامای ۲ پارامتری است. بر اساس نتایج حاصله، درصد احتمال خطا در دوره بازگشت ۲ ساله کمتر و رفته رفته با افزایش سنوات پیش‌بینی میزان خطا بیشتر می‌شود.

۴- در همه هیدروگراف‌های شبیه‌سازی شده زمان دبی اوج بطور میانگین یک روز زودتر از زمان واقعی آنها محاسبه شده است (اشکال ۱۵ تا ۲۲). بر این اساس بایستی در پیش‌بینی زمان وقوع سیلاب این مسئله مورد توجه قرار گیرد.

آذری و همکارانش (۱۳۸۸) در برآورد زمان دبی اوج چندین ساعت تأخیر در محاسبه داشتند، لذا آنها پیشنهاد کردند که می‌توان یک روز زودتر از زمان وقوع، سیلاب را پیش‌بینی نمود.

- چامه، غلامرضا (۱۳۸۸). بررسی پتانسیل تولید رواناب و آبنمود سیل حوزه با استفاده از مدل HEC-HMS (مطالعه موردی: حوزه آبخیز قره‌سو در استان کرمانشاه)، دانشگاه آزاد اسلامی واحد علوم و تحقیقات. پایان‌نامه کارشناسی ارشد رشته آبخیزداری (M.Sc). صفحه ۲۴.
- حسین زاده، محمدمهدی؛ سپیده ایمنی (۱۳۹۵). مدل‌سازی هیدرولوژیکی حوزه آبخیز کوچک - رودک با استفاده از مدل HEC-HMS، پژوهش‌های دانش زمین. سال هفتم، شماره ۲۵. صفحه ۴۳-۳۱.
- حسینی، سیدموسی؛ منصور جعفریگلو؛ مجتبی یمانی؛ فاطمه گراوند (۱۳۹۴). پیش‌بینی سیلاب‌های تاریخی رودخانه کشکان با استفاده از مدل هیدرولوژیکی HEC-HMS؛ پژوهش‌های ژئومورفولوژی کمی. سال چهارم، شماره ۱.
- حسادی، همایون؛ نرگس امیدی؛ رضا مسعودی‌تبار (۱۳۹۵). بررسی سیلاب حوزه ناودار به وسیله مدل هیدرولوژیکی HEC-HMS. سومین کنگره علمی پژوهشی توسعه و ترویج علوم کشاورزی. منابع طبیعی و محیط زیست ایران. تهران. انجمن توسعه و ترویج علوم و فنون بنیادین.
- شرکت سهامی آب منطقه‌ای غرب، ۱۳۷۹-۱۳۶۰، گزارش مطالعات آب روانسر.
- شرکت سهامی آب منطقه‌ای غرب، ۱۳۷۵-۱۳۶۸، گزارش بارندگی ایستگاه سینوپتیک روانسر.
- شرکت سهامی آب منطقه‌ای غرب، ۱۳۸۸-۱۳۵۴، گزارش سیل و برگه‌های سیلاب ایستگاه هیدرومتری روانسر.
- شکری کوچک، سعید؛ عبدالکریم بهنیا؛ فریدون رادمنش؛ علی محمد آخوندعلی (۱۳۹۰). تخمین آبنمود سیلاب حوزه آبخیز با استفاده از مدل HEC-HMS و سامانه اطلاعات جغرافیایی (مطالعه موردی: حوزه آیدنک)، پژوهشنامه مدیریت حوزه آبخیز. سال سوم، شماره ۵. صفحات ۸۵-۶۳.
- علیزاده، امین (۱۳۸۵). اصول هیدرولوژی کاربردی، دانشگاه امام رضا. چاپ شانزدهم. صفحه ۳۴۵.
- کریمی، مریم؛ گلاره غفاری؛ محمدصادق عزیزیان (۱۳۹۰). شبیه‌سازی فرآیند بارش - رواناب با استفاده از مدل HEC-HMS مطالعه موردی: حوزه آبخیز ليقوان، هفتمین همایش ملی علوم و مهندسی آبخیزداری ایران. صفحات ۱۲-۱.
- محمدی، حسین؛ مهران مقصودی؛ غلامرضا روشن (۱۳۸۵). جایگاه و نقش سیستم‌های پیش‌بینی و هشدار سیلاب در کاهش اثرات مخرب سیل، فصلنامه چشم انداز جغرافیایی. سال اول. شماره ۳. صفحات ۱۰۲-۸۷.
- محسنی‌ساروی، محسن؛ مهدی وفاخواه (۱۳۸۸). ارزیابی مدل HEC-HMS به منظور برآورد هیدروگراف سیلاب در حوزه آبخیز کسلیان، پژوهش‌های آبخیزداری. ۸۴. صفحه ۶۷.
- محمودیان شوشتری، محمد؛ محمدرضا مجدزاده طباطبایی؛ علی یوسفی (۱۳۸۱). بررسی و کاربرد مدل در مهندسی رودخانه بررسی موردی مطالعه موردی: رودخانه‌های کر و سیوند استان فارس، ششمین سمینار بین‌المللی رودخانه بهمن‌ماه ۱۳۸۱. دانشگاه شهید چمران. اهواز.
- مهدی‌نسب، مهدی؛ تقی طاوسی؛ رضا میرزایی (۱۳۹۳). پیش‌بینی احتمال وقوع سیل و حداکثر بارش متحمل زیرحوضه پلدختر با استفاده از روش سری‌های جزئی، اکوسیستم‌های طبیعی ایران. دوره ۵. شماره ۱. صفحات ۱۰۹-۹۷.
- مرادی‌نژاد، مریم؛ مقداد جورغلامی؛ آرش ملکیان (۱۳۹۴). بررسی کارایی مدل هیدرولوژیک در شبیه‌سازی هیدروگراف سیلاب حوزه‌های آبخیز جنگلی؛ مطالعه موردی: جنگل خیرود؛ جنگل و فرآورده‌های چوب مجله منابع طبیعی ایران، شماره ۳. دوره ۶۸. صفحه ۶۲۶.
- مزیدی، احمد؛ سمیرا کوشکی (۱۳۹۴). شبیه‌سازی بارش - رواناب و تخمین سیل در حوضه آبریز خرم‌آباد با مدل HEC-HMS، جغرافیا و توسعه. شماره ۴۱. صفحات ۹-۱.

- Ali Mohammad, J. k., Aslam, I. and Khan, Z. (2011). Simulation of the impacts of land-use change on surface runoff of Lai Nullah Basin in Islamabad, Pakistan, Landscape and Urban Planning, V.102, PP. 271–279.
- Garcia, A., Sainz, A., Revilla, J. and Alvarez, C (2008). Surface Water Resources Assessment in scarcely gauged basins in the north of Spain, Journal of Hydrology, V. 356, PP. 32-312.
- Kafle, T.P., Hazarika, M.K., Karki, S., Shrestha, R.M., Sharma R., and Samarakoon, L (2007) . Basin scale rainfall runoff modeling for flood forecasts, 5th Annual Mekong flood Forum. Vietnam. PP.41.
- Kibber. D, F. Froelich, C, and Aron. G (2007). Analyzing urnabization impacts on Pennsylvania flood peak, Journal of American Water Resources Association, Vol. 17, Issue 2, PP.247-270.
- Razi, M.A.M, J.Ariffin, W.Tahir and N.AM Arish (2010). "Flood estimation studies using hydrologic modeling system (HEC- HMS) for Johor river, Malaysia", Journal of Applide Sciences :N10: PP. 930-939.

<http://www.un.org> (2017). UN report finds 90 percent of disasters are weather-related: 23 November 2015.

Geography and Development
16nd Year-No.53–Winter 2019
Received: 26/11/2017 Accepted: 20/02/2018

Simulation of Hydrograph of the Flood with Hydrological Model HEC-HMS and Prediction of Return Period in Kermanshah Ravansar Basin

Dr. Zahra Rahimzadeh

Asistant Professor of Geomorphology
University of Farhangian, Nasibeh Pardis Tehran

Mina Habibi

M.Sc of Climatology
University of Azad Ardebil

Introduction

Flood is a natural event that human societies have accepted it as a part of unavoidable events of the earth and no doubt it is the most devastating natural disaster. This has led many experts to pay special attention to the studies related to the floods, ways to lessen their risks and losses, and to predict the possibility of their reoccurrence. Over the past few decades, the use of rainfall-runoff simulation models has been considered by water and soil conservation researchers to predict the flood and this has led to designing various software to simulate the rainfall-runoff process. One of the successful models in this regard is the HEC-HMS software. This model has been implemented by researchers in various regions of the world due to its proper response and the ability to modify its parameters and is now widely used in hydrological discussions. Ravansar watershed area with an area of 1103.05 km² is one of the main branches of Ghareh Sou river, which is flooded down the river, especially during spring rainfall periods, due to its large volume of flow and lack of sufficient capacity for the current riverbed. Annual damage and damage to the sewage storage at the basin level confirms it. Because of this evidence and high potentiality of this basin, the flood formation of Ravansar watershed has been selected for the study in downstream floods. The purpose of this study was the simulation of runoff-precipitation model and prediction of the return periods of destructive and severe floods using the HEC-HMS hydrologic model and Hyfa software in the studied basin.

Methods and Material

For modeling, extraction of physiographic and hydrological parameters of the basin is very necessary. Therefore, in the first stage, using the 1: 20000 topographic layer of the organization of the armed forces of the country, the bases of the slope, hydrology, and topography of the basin were mapped. Further, the physiographic and hydrologic characteristics of the basin were calculated by the ArcGIS10 software environment. In the next step, statistics and information on precipitation and discharge with flood watershed maps were collected from the meteorological and hydrometric stations. Due to the limitations of hydrometric stations in the basin, to improve the accuracy of the study, the meteorological station and hydrometric station adjacent to the basin were utilized as well. The next step is the calculation of CN basin, which is directly related to soil permeability

characteristics and this parameter is also related to how land use and hydrological characteristics of the soil and vegetation type are. The Curve Number (CN) layer was prepared by combining the of layers of the soil hydrological groups, the land use and the vegetation cover. Using the weighted computation method, the mean of the CN was calculated and the number 66.5 was obtained. The extraction of the corresponding rainfall with the recorded flood sheets and the preparation of the hydrographs from the hydrologic stations were the next stage of the research. Then, the amount of discharge in the flood records of the hydrologic stations was extracted for each rainfall event, and then the daily rainfall corresponding to that event was extracted, after which five events of rainfall and flood corresponding to the synchronization were selected in all stations. In order to simulate the rainfall-runoff process, these estimations, along with other effective parameters in the runoff production, were introduced into HEC-HMS hydrologic simulations. To simulate the flood hydrograph in this study, the HMS-HEC model was used and to predict the hyfa software.

Results and Discussion

At the outset, the discharge data was extracted from the recorded flood records of hydrometric stations, and for each rainfall incident, the average was calculated first and then its hydrograph was plotted. Then, by examining the hydrographs in terms of having ascending and descending branches and the duration of precipitation and the synchronization of occurrence of rainfall and flood, suitable hydrographs were selected. In the next step, the daily rainfall corresponding to that flood event was extracted. Finally, five incidents of the corresponding rainfall and flood were selected by consistency in the studied stations. The selected flood data entered the HEC-HMS model. The simulation was performed for the whole basin and the initial model was extracted.

If the computational hydrographs (blue line) match the observational hydrographs (black line), then calculations of the values of the parameters introduced into the model are performed accurately. In fact, the model has been capable of simulating well the physical characteristics and coverage of the surface of the basin and the characteristics of the rainfall, such as its intensity, duration, and uniformity, but if the points are below the line, the model will show the prediction values less than the actual value, and vice versa. By observing the graphic hydrographs of the basin in Figures 10 to 14, the severity of the discrepancy in the data is well visible in calculating the peak discharge time of the flood and the time of occurrence of the flood. By analyzing the rainfall hydrographs on the dates of 1989,10,30 and 1994,01,17 and 1994,10,19 the calculated values for estimating the volume of flood and peak discharge are higher than their actual values. In contrast, on the dates of 1992,02,23 and 1992,03,30 computational amounts in estimating the volume of flood and peak discharge are less than their actual values. Also, in all hydrographs, the peak discharge time is calculated as an average of one day earlier than their actual time. Accordingly, due to the high percentage of errors in calculating the parameters introduced into the model, the calibration process was performed. After calibration, some changes were made to the parameters and the simulated hydrographs were approached to observation hydrographs. Calibrated graph diagrams show that computational data were very close to the real-world data in estimating peak fluctuations so that the error rate fell to less than 0.7%. That is, the peak sum of the calculated peak is 99% accurate for reliable prediction. In the calibration step, the error rate in the calculation of flood volume also decreased significantly. The

error rate dropped to 11.1 percent. Noteworthy in hydrographs is the lack of consistency of the lower arm of the observational and computational hydrographs that did not fit perfectly after calibration.

After calibrating the model and obtaining new and fitted values for the parameters used in the model, it is time to check the accuracy of the new parameters. For this purpose, three other incident events were used. After entering the new parameters into the model, the hydrographs of the newly discovered events were calculated and simulated. The evaluation of the diagrams at the accreditation stage shows that there is a significant decrease in the number of computational errors in comparison with the five simulation events. So that the computational hydrographs with a mean error of 0.7% for estimating peak discharge and with a mean of 3.33 error were found to fit the flood volume with observation hydrographs. In fact, the final hydrographs indicate the accuracy of the values of the calibration parameters and these values can be used in the final rainfall-runoff basin model. In the last stage, with the help of the hyfa software and with the maximum instantaneous flow rates of the studied stations, between the years 1955- 1955 to 2009-2004, using normal distribution, normal log 2 parameters, normal log 3 parameters, gamma 2 Parametric, Pearson, Log Pearson and Gumbel statistics were analyzed and extrapolated, and the return periods were 2, 5, 10, 20, 50, 100 years old, and so, which were calculated. Based on the results, the most suitable statistical distribution with which the data was fitted and showing the minimum error is the distribution of gamma 2 parameters. Based on the results, the probability of error in biennial return period is lower, with increasing the number of years added to the error rate.

Conclusion

1. The validation results of HEC-HMS model in this study indicate a mean difference of 0.7% in flood peak estimation and a mean difference of -3.33 in flood volume calculations. The final data show that the time model in estimating peak flows and flood volumes is capable of correctly calculating and calibrating the variable parameters of the model (curve number (CN), initial loss (Ia) and delay time (Tiag)) and then the simulation process with new flood events was validated again.
2. Calibration and validation of the eight selected rainfall events in this study showed that the computational hydrographs with a mean error of 0.4% were used to estimate the peak discharge and with a mean of 1.4 errors in calculating the flood volumes with observation hydrographs. Accordingly, the results of HEC-HMS computational hydrographs are more accurate in calculating peak discharge.
3. The most appropriate statistical distribution for which the maximum instantaneous flood station was fitted to is due to the minimum error associated with the gamma distribution of the 2 parameters. Based on the results, the probability of error in the biennial return period is less than the increase in predicted error rates.
4. In all simulated hydrographs, peak discharge times are calculated with an average of one day earlier than their actual time. Accordingly, this should be considered in predicting the occurrence of flood time.

Keywords: Flood, Rainfall-Runoff, Prediction, Hyfa, HEC-HMS.

References

- Ali Mohammad, J. k., Aslam, I. & Khan, Z (2011). Simulation of the impacts of land-use change on surface runoff of Lai Nullah Basin in Islamabad, Pakistan. *Landscape & Urban Planning*, 102, 271-279.
- Alizadeh, A. (2006). *Principles of Applied Hydrology*. Mashhad, Astane Ghods Razavi Publications.
- Azari, M., Metcan, A., Shakiba, A., & Seyed Hossein Pur, A. (2009). Flood Simulation and Warning by Combining Hydrologic Models in GIS and Estimating Precipitation through Remote Sensing. *Geology of Iran*, (9), 51-39.
- Bakmani, R., Radmanesh, F., & Rezaei Hessari, M (2011). Forecasting the Flood of the Yellow River Basin Using HEC-GeoHMS Hydrological Models, The Fourth Iranian Water Resources Management Conference, Amir Kabir University of Technology, 2011.
- Chameh, G.R. (2009). Investigate the Potential Runoff and Flood Hydrograph Basins, Model HEC-HMS: A Case Study of Qaresoo Watershed in Kermanshah Province (master's thesis). Kermanshah Islamic Azad University, Kermanshah, Iran.
- Garcia, A., Sainz, A., Revilla, J. & Alvarez, C (2008). Surface Water Resources Assessment in Scarcely Gauged Gasins in the North of Spain. *Journal of Hydrology*, 356, 312-32.
- Heshadi, H., Omid, N., & Masouditbar, R (2015). Investigation of Flood Basin Flood by HEC-HMS Hydrologic Model; The Third Scientific Research Conference on the Development and Promotion of Agricultural Sciences, Natural Resources and Environment of Iran, 2015. Tehran, Iran.
- Hosseini, S. M., Jafaribegloo, M., Yamani, M., & Graavand, F (2015). Prediction of Historical Flood of Keshkan River Using HEC-HMS Hydrological Model. *Quantitative Geomorphology Research*, 4, (1), 118-133.
- Hossein Zadeh, M. M., & Amani, S (2016). Hydrological Modeling of Ghouchak-Roodak Watershed Using HMS-HEC Model. *Earth science research*, 7 (25), 43-31.
- Jahanbakhsh, M.R., Keshkoli, H., & Shabanlou, S (2012). Comparison of the flow rate in the scale of the basin using the HEC-HMS model and Geographic Information System (GIS). Seminar presented at the 9th International Bahman Monthly Engineering Seminar, Ahvaz, Shahid Chamran University.
- Jahanideh, K., Ghobadian, R., Jahandideh, H., & Jahandideh, F (2010). Evaluation and Calibration of the WMS / HEC-HMS Model in the Qarsoo Basin, The First National Conference on Coastal Water Resources Management, Sari University of Agricultural Sciences and Natural Resources, 2010. Sari, Iran.
- Kafle, T.P., Hazarika, M.K., Karki, S., Shrestha, R.M., Sharma R., & Samarakoon, L (2007). Basin Scale Rainfall-runoff Modeling for Flood Forecasts, 5th Annual Mekong Flood Forum. Vietnam. PP.41.
- Karimi, M., Ghafari, Gh., & Azizian, M. S (2011). The Simulation of Rainfall-Runoff Process Using HEC-HMS Model A Case Study: Lighvan Basin. The Seventh National Conference on Watershed Management Sciences and Engineering, 2011. City, Iran.
- Kibber, D. F., Froelich, C., & Aron, G (2007). Analyzing Urbanization Impacts on Pennsylvania Flood Peak. *Journal of American Water Resources Association*, 17 (2), 247-270.

- Mohammadi, H., Maghsoudi, M., & Roshan, Gh (2006). The Position and Role of Flood Forecasting and Flood Alert Systems in Reducing Flood Destructive Impacts. *Geographic Outlook Quarterly*, 1 (3), 102-87.
- Mahdinesab, M., Tavousi, T., & Mirzaei, R (2014). The Prediction of Flood Probability and Maximum Rainfall under sub-district of Poldokhtar Using Partial Series Method. *Natural Ecosystems of Iran*, 5 (1), 109-97.
- Mahmoudian Sh., Majdzadeh Tabatabaee, M. R., & Yousefi, A (2002). The Investigation and Application of the Model in River Engineering: A Case Study of Kor and Sivand Rivers of Fars Province. Seminar presented at the 6th International River Seminar, Ahvaz, Shahid Chamran University.
- Mazidi, A. & Koshki, S (2015). The Rainfall-runoff Simulation and Flood Estimation in Khorramabad Basin with HEC-HMS Model. *Geography and Development*, (41), 9-1.
- Mohseni Saravi, M., & Vafakhah, M (2009). The Evaluation of HMS-HEC Model for Estimation of Flood Hydrograph in Kasilian Watershed. *Watershed Research*, (84), 67.
- Moradinezhad, M., Jorgholami, M., & Malekian, A (2015). Investigating the Efficiency of Hydrological Model in Hydrographic Flood Simulation of Forest Watersheds: A Case Study of Kheyroud Forest. *Forest and Wood Products Journal of Natural Resources of Iran*, 68 (3), 626.
- Pourhossein Ghaderi, S., & Mohammadnejad, B (2013). Rainfall-runoff Modeling in Nazlouchai Watershed of Urmia Using WMS / HEC-HMS Model, The Fifth Iranian Water Resources Management Conference, Shahid Beheshti University, 2013. Tehran, Iran.
- Razi, M.A.M J., Ariffin, W.Tahir & N.AM Arish (2010). Flood Estimation Studies Using Hydrologic Modeling System (HEC- HMS) for Johor River, Malaysia. *Journal of Applied Sciences*,10, 930-939.
- Regional Water Company of Kermanshah (2000). The Report of Ravansar Water Studies. Kermanshah, Ravansar.
- Regional Water Company of Kermanshah (1996). The Report of the Rainfall Synoptic Station in Ravansar. Kermanshah, Ravansar.
- Regional Water Company of Kermanshah (2009). The Report of Flood and Flood Sheets of Ravansar Hydrometric Station. Kermanshah, Ravansar.
- Shokari Kouchak, S., Behnia, A., Radmanesh, F., Akhond Ali, A. M. (2011). The Estimation of Watershed of the Water Flood Using HEC-HMS Model and GIS: A Case Study on Idenak Basin. *Journal of Watershed Management*, 3 (5), 63-85.
- <http://www.un.org> (2017). UN report finds 90 percent of disasters are weather-related: 23 November 2015.